

ТЕОРИЯ И МЕТОДЫ
ОБРАБОТКИ СИГНАЛОВ

УДК 621.391:004.934

МЕТОД АВТОРЕГРЕССИОННОГО МОДЕЛИРОВАНИЯ РЕЧЕВОГО СИГНАЛА
НА ОСНОВЕ ЕГО ДИСКРЕТНОГО ФУРЬЕ-ПРЕОБРАЗОВАНИЯ
И МАСШТАБНО-ИНВАРИАНТНОЙ МЕРЫ
ИНФОРМАЦИОННОГО РАССОГЛАСОВАНИЯ

© 2021 г. В. В. Савченко^а, *, Л. В. Савченко^б, **

^аРедакция журнала “Радиотехника и электроника”,
ул. Моховая, 11, корп. 7, Москва, 125009 Российская Федерация

^бНациональный исследовательский университет “Высшая школа экономики”,
ул. Большая Печерская, 25/12, Нижний Новгород, 603155 Российская Федерация

*E-mail: vvsavchenko@yandex.ru

**E-mail: lsavchenko@hse.ru

Поступила в редакцию 29.09.2020 г.

После доработки 24.02.2021 г.

Принята к публикации 16.04.2021 г.

Рассмотрена задача авторегрессионного моделирования речевого сигнала по данным его дискретного фурье-преобразования на интервалах длительностью в один речевой фрейм (миллисекунды). На основе теоретико-информационного подхода разработан новый, двухэтапный метод ее решения, в котором разделяются между собой две вычислительные процедуры: итеративной оптимизации параметров авторегрессии и их автоматического амплитудного масштабирования. Поставлен и проведен натурный эксперимент. Показано, что основным преимуществом нового метода по сравнению с его известными аналогами является чрезвычайно высокая скорость сходимости итераций к оптимальному решению.

DOI: 10.31857/S0033849421110085

ВВЕДЕНИЕ

На протяжении ряда лет авторегрессионная модель (АР-модель) находит широкое применение в системах цифровой обработки и передачи речи в качестве способа кодирования со сжатием речевой информации [1]. Ее объектом служат короткие (миллисекунды) отрезки $x_m(t)$, $m = 1, 2, \dots$, или фреймы речевого сигнала $x(t)$ в расчете на их приближительную (квази) стационарность. От точности АР-модели зависит, в частности, узнаваемость диктора по голосу. А это качество наряду с разборчивостью речи [2] является важнейшим требованием действующего государственного стандарта к системам речевой связи.

Интенсивность исследований в данном научном направлении особенно возросла в последние годы в связи с появлением и распространением в мире информационных диалоговых систем с многомодальным пользовательским интерфейсом [3], в которых АР-модель конечного порядка $p < \infty$ служит математической основой не только автоматического распознавания речи, но и паралингвистического анализа голосовых запросов пользователей в целях оперативного отслеживания их эмоционального состояния в процессе диалога [4]. Проблема состоит в известной вариативности устной

речи на выходе речевого тракта диктора [2, 5]. Поэтому используемая АР-модель должна быть непрерывно (фрейм за фреймом [2, 6]) адаптируемой под наблюдаемый в текущем времени сигнал $x_m(t)$. Проблема обостряется в условиях малых выборок наблюдений [6, 7].

Особенно остро данная проблема возникает в системах передачи речи по низкоскоростным каналам связи, в которых порядок АР-модели жестко ограничен сверху относительно небольшой величиной $p = 8 \dots 12$. Так, например, рекомендованные Международным союзом электросвязи (ITU) в качестве стандартов G.723.1, G.728 и G.729 алгоритмы речевого кодирования CELP (Code Excited Linear Prediction [8]) основаны на АР-модели 10-го порядка. Их широко применяют в цифровых системах сотовой связи, VoIP, голосовой почты и голосового интерактива. Алгоритмы этого класса обеспечивают сжатие данных в восемь и более раз с задержкой результата на время, не превышающее длительности $\tau = 10 \dots 30$ мс стандартного речевого фрейма [9]. Естественной “платой” за указанное сжатие являются потери части полезной информации. Размер потерь в значительной степени определяется точностью настройки АР-модели под наблюдаемый речевой сигнал. Причем

из-за естественной ограниченности частотного ресурса актуальность исследований в данном направлении с течением времени отнюдь не ослабевает [10], поэтому актуальной представляется и тема предлагаемой статьи.

Доминирующее положение в области АР-исследований до настоящего времени занимает метод спектрального анализа, разработанный Дж.П. Бергом в 1967 г. В рамках теории линейного предсказания [11] и уравнений Юла–Уолкера [1] данный метод сводит рассматриваемую задачу к корреляционному анализу наблюдаемого сигнала. Проблема малых выборок в этом методе решается с помощью высокоскоростной вычислительной процедуры Левинсона–Дурбина [12]. Ее назначение – оценка вектора АР-параметров сигнала по конечной выборке наблюдений. При этом в целях обеспечения требуемой точности порядок АР-модели определяют на уровне $p \gg 1$. Например, равенство $p = 10$ в алгоритмах класса CELP установлено из расчета четырех-пяти основных формант в спектре звуков речи диктора. Между тем из прикладной лингвистики хорошо известно [6, 13], что оптимальное значение порядка авторегрессии, в частности для сигналов гласных фонем, варьируется в довольно широких пределах, $p = 8 \dots 20$, в зависимости от речевых особенностей конкретного диктора. Однако использование завышенного значения АР-порядка p сопровождается рядом вредных эффектов [14], таких как смещение мод и появление ложных пиков в формируемой статистической оценке спектральной плотности мощности (СПМ). Указанные эффекты особенно ярко выражены для сигналов гласных фонем с характерной для них плохой обусловленностью матриц автоковариаций [15].

1. ПРЕДМЕТ И ЦЕЛЬ ИССЛЕДОВАНИЯ

Альтернативой статистическому подходу может служить алгебраический подход в терминах адаптивного фильтра или дискретного спектрального моделирования (ДСМ) [16, 17]. Его математической основой является спектральная чистополосная [18] модель речевого сигнала:

$$\hat{G}(f; \sigma_p^2, \mathbf{a}_p) \triangleq \frac{\sigma_p^2 T}{\left| 1 - \sum_{k=1}^p a_k \exp(-j2\pi k f T) \right|^2}, \quad |f| \leq 1/(2T), \quad (1)$$

которая может быть представлена в эквивалентном виде

$$\hat{G}(f; \mathbf{b}_{p+1}) = \frac{\sigma_0^2 T}{\left| \sum_{i=0}^p b_i \exp(-j2\pi i f T) \right|^2}, \quad |f| \leq 1/(2T). \quad (2)$$

Здесь введены следующие обозначения: T – период временной дискретизации речевого сигнала; $\mathbf{a}_p = \{a_k\}$ – вектор коэффициентов линейной авторегрессии p -го порядка; σ_p^2 – дисперсия ошибки линейного предсказания [19]; $\sigma_0^2 = \text{const}$ (\triangleq – символ равенства по определению). Задача в данном случае формулируется как оптимизационная: путем подбора (вариации) $(p + 1)$ -вектора АР-параметров $\mathbf{b}_{p+1} = \{b_i\}$ найти наилучшее приближение (2) для СПМ $G(f)$ на конечном множестве ее отсчетов $\{G(f_n)\}$ в пределах конечного набора частот $f_n, n \leq N$, из ограниченного диапазона $|f_n| \leq 0.5F$, где $F = 1/T$ – частота дискретизации речевого сигнала. Для ее решения применяют итеративные вычислительные процедуры. Порядок авторегрессии устанавливают при этом на некотором фиксированном уровне, в частности $p = 10$, а в качестве спектрального эталона $\{G(f_n)\}$ используют дискретную оценку СПМ. Например [17, 18], это может быть мгновенная спектральная оценка [19] на основе дискретного преобразования Фурье (ДПФ) речевого сигнала $x(t)$ в пределах его m -го (наблюдаемого) фрейма $x_m(t)$. В пользу такого варианта свидетельствуют следующие соображения [18]. Во-первых, ДПФ-оценки спектра основываются на линейной обработке речевого сигнала и поэтому не связаны с отмеченными выше эффектами смещения и расщепления спектральных мод в условиях малых выборок наблюдений [19]. И, во-вторых, к оценкам СПМ на основе ДПФ применима теорема Парсевяля [20], что упрощает процедуру их последующего амплитудного масштабирования под переменную интенсивность речевого сигнала.

Проблема масштабирования АР-модели речевого сигнала [21] – одна из наиболее острых в области цифровых систем связи [22, 23]. В нашем случае она обусловлена и обостряется большим динамическим диапазоном гласных фонем (десятки децибел) в пределах даже одного потока речи от диктора, а также принципиальной неравноценностью АР-параметров \mathbf{a}_p и σ_p^2 в рамках рассматриваемой задачи. Если вектор \mathbf{a}_p согласно выражению (1) оказывает непосредственное влияние на форму СПМ АР-модели (2), то дисперсия σ_p^2 – это только ее масштабный множитель [19]. В задаче ДСМ он играет роль мешающего параметра [15, 18], что объективно усложняет ее решение и ограничивает точность результата. Решению проблемы масштабирования в задаче ДСМ речевого сигнала и посвящена главным образом данная статья.

Цель проведенного исследования – повышение точности АР-модели (2) на основе применения в качестве функции стоимости оптимизационной задачи [16] новой меры: масштабно-инвариантной

модификации информационного рассогласования случайных сигналов по Кульбаку–Лейблеру [24]. В отличие от обычной практики ДСМ [18] увеличение размерности поставленной задачи на единицу, с p до $p + 1$, не привело в новом методе к заметному увеличению сложности вычислений и к ухудшению точности полученного результата, так как авторам удалось разделить между собой две вычислительные процедуры: оптимизации

вектора коэффициентов \mathbf{b}_{p+1} и масштабирования АР-модели (2).

2. ПОСТАНОВКА ЗАДАЧИ

В работе [24] со ссылкой на симметричную форму информационной метрики Кульбака–Лейблера и определение COSH-расстояния [25]

$$\rho_{\text{COSH}}(\mathbf{b}_{p+1}) \triangleq (2F)^{-1} \int_{-F/2}^{F/2} [\hat{G}(f; \mathbf{b}_{p+1})G^{-1}(f) + G(f)\hat{G}^{-1}(f; \mathbf{b}_{p+1}) - 2] df \geq 0$$

в качестве ее асимптотического эквивалента в частотной области дано обоснование величины

$$\rho_{\text{M-COSH}}(\mathbf{b}_{p+1}) \triangleq \sqrt{F^{-1} \int_{-F/2}^{F/2} \hat{G}(f; \mathbf{b}_{p+1})G^{-1}(f) df} \times \sqrt{F^{-1} \int_{-F/2}^{F/2} G(f)\hat{G}^{-1}(f; \mathbf{b}_{p+1}) df} - 1 \geq 0 \quad (3)$$

на роль масштабно-инвариантной меры информационного рассогласования речевого сигнала и его АР-модели (2). Причем, учитывая особенности механизма речеобразования [1], а также эффект регуляризации от действия фонового шума в задачах ДСМ [17], из рассмотрения далее исключены возможности равенства нулю как СПМ $G(f)$, так и ее оценки $\hat{G}(f)$ по всей области их определения. С использованием (3) поставим следующую оптимизационную задачу: найти оптимальный вектор АР-параметров \mathbf{b}_{p+1} по критерию минимума меры $\rho_{\text{M-COSH}}(\mathbf{b}_{p+1})$. Задача в данной постановке представляет очевидный теоретический и практический интерес.

В самом деле, из справедливости тождества

$$\begin{aligned} \rho_{\text{M-COSH}}(\mathbf{b}_{p+1}) \big|_{\hat{G}(f; \mathbf{b}_{p+1}) = G^*(f)} &= \\ = \rho_{\text{M-COSH}}(\mathbf{b}_{p+1}) \big|_{\hat{G}(f; \mathbf{b}_{p+1}) = cG^*(f)} & \end{aligned}$$

для любых СПМ $G^*(f) > 0$ и константы $c > 0$, в том числе при равенстве $c = 1/\sigma_0^2$, вытекает инвариантность меры (3) к масштабному множителю σ_0^2 из выражения (2). Отметим при этом, что собственно мера COSH данным свойством не обладает. Как следствие, при ее применении оценка оптимального вектора АР-параметров \mathbf{b}_{p+1} будет менять свое значение в зависимости от дисперсии ошибки линейного предсказания σ_p^2 . А это нежелательное явление [18] с точки зрения точности результирующей АР-модели. Поэтому можно утверждать, что в задаче ДСМ традиционная мера COSH-расстояния заведомо проигрывает своей модификации (3) по эффективности.

Конкуренцию новой мере в принципиальном отношении может составить лишь симметричная форма расстояния Итакуры (Symmetric Itakura Distance, SID [25, 26])

$$\rho_{\text{SID}}(\mathbf{b}_{p+1}) \triangleq \ln \sqrt{F^{-1} \int_{-F/2}^{F/2} \hat{G}(f; \mathbf{b}_{p+1})G^{-1}(f) df} \times \sqrt{F^{-1} \int_{-F/2}^{F/2} G(f)\hat{G}^{-1}(f; \mathbf{b}_{p+1}) df} \geq 0, \quad (4)$$

которая нашла на данный момент довольно широкое применение в задачах медицинской диагностики [27, 28]. Поэтому на ней, вслед за спектральной мерой (3), мы сосредоточим основное внимание.

3. СИНТЕЗ АЛГОРИТМА ВЫЧИСЛЕНИЙ

Учитывая свойства меры $\rho_{\text{M-COSH}}(\mathbf{b}_{p+1})$, перепишем выражения (2) и (3) в дискретном виде:

$$\hat{G}(f_n; \mathbf{b}_{p+1}) = \frac{\sigma_0^2 T}{\left(\sum_{k=0}^p b_k \cos(2\pi k f_n T) \right)^2 + \left(\sum_{k=0}^p b_k \sin(2\pi k f_n T) \right)^2}, \quad n = \overline{1, N}, \quad (5)$$

$$\rho_{\text{M-COSH}}(\mathbf{b}_{p+1}) = \sqrt{N^{-1} \sum_{n=1}^N \hat{G}(f_n; \mathbf{b}_{p+1})G^{-1}(f_n)} \sqrt{N^{-1} \sum_{n=1}^N G(f_n)\hat{G}^{-1}(f_n; \mathbf{b}_{p+1})} - 1 \geq 0. \quad (6)$$

Задача после этого формулируется следующим образом: найти оптимальный вектор АР-параметров $\mathbf{b}_{\text{опт}}$ из условия минимизации меры (6) при равенстве $\mathbf{b}_{p+1} = \mathbf{b}_{\text{опт}}$. Константа σ_0^2 в данном случае значения не имеет. Поэтому для определенности далее примем ее (в варианте “gain normalization” [25]) равной единице. Задача в данной формулировке имеет единственное решение [17]. Правда, найти его в явном виде не представляется возможным. Поэтому воспользуемся итеративным методом градиентного спуска [15, 16].

Следуя методологии итеративных вычислений [18], сначала определим градиент целевого функционала

$$\begin{aligned} \forall i = \overline{0, p} : \frac{d}{db_i} \rho_{\text{M-COSH}}(\mathbf{b}_{p+1}) = \\ = N^{-1} \left[\sqrt{\frac{g_1(\mathbf{b}_{p+1})}{g_2(\mathbf{b}_{p+1})}} \times \sum_{k=0}^p b_k \sum_{n=1}^N G(f_n) \cos[2\pi(k-i)f_n T] - \right. \\ \left. - \sqrt{\frac{g_2(\mathbf{b}_{p+1})}{g_1(\mathbf{b}_{p+1})}} \times \sum_{k=0}^p b_k \sum_{n=1}^N G^{-1}(f_n) \hat{G}^2(f_n; \mathbf{b}_{p+1}) \times \right. \\ \left. \times \cos[2\pi(k-i)f_n T], \right. \end{aligned} \quad (7)$$

поставленной задачи, где введены следующие обозначения:

$$\begin{aligned} g_1(\mathbf{b}_{p+1}) &\triangleq N^{-1} \sum_{n=1}^N \hat{G}(f_n; \mathbf{b}_{p+1}) G^{-1}(f_n), \\ g_2(\mathbf{b}_{p+1}) &\triangleq N^{-1} \sum_{n=1}^N G(f_n) \hat{G}^{-1}(f_n; \mathbf{b}_{p+1}). \end{aligned}$$

$$\begin{aligned} \frac{d}{db_i} \rho_{\text{SID}}(\mathbf{b}_{p+1}) = \frac{d}{db_i} \rho_{\text{M-COSH}}(\mathbf{b}_{p+1}) = N^{-1} \left[g_2^{-1}(\mathbf{b}_{p+1}) \sum_{k=0}^p b_k \sum_{n=1}^N G(f_n) \cos[2\pi(k-i)f_n T] - \right. \\ \left. - g_1^{-1}(\mathbf{b}_{p+1}) \sum_{k=0}^p b_k \sum_{n=1}^N G^{-1}(f_n) \hat{G}^2(f_n; \mathbf{b}_{p+1}) \cos[2\pi(k-i)f_n T] \right]. \end{aligned} \quad (9)$$

Поскольку в соответствии с (6) выполняется равенство

$$\sqrt{g_1(\mathbf{b}_{p+1}) g_2(\mathbf{b}_{p+1})} = \rho_{\text{M-COSH}}(\mathbf{b}_{p+1}) + 1 \geq 1,$$

из выражения (9) приходим к системе соотношений

$$\forall i = \overline{0, p} : \frac{d}{db_i} \rho_{\text{SID}}(\mathbf{b}_{p+1}) \leq \frac{d}{db_i} \rho_{\text{M-COSH}}(\mathbf{b}_{p+1}).$$

Полученный результат имеет большое значение с точки зрения сравнительной динамики итераций (8) при применении двух разных методов ДСМ: у метода, основанного на модифицированном COSH-расстоянии (3), скорость сходимости

Приравнивая градиент (7) к нулю, получим систему оптимизационных уравнений

$$\frac{d}{db_i} \rho_{\text{M-COSH}}(\mathbf{b}_{p+1}) = 0, \quad i = \overline{0, p}.$$

Искомый вектор $\mathbf{b}_{\text{опт}} = \text{Argmin} \rho_{\text{M-COSH}}(\mathbf{b}_{p+1})$ после этого определим в виде последовательности приближений:

$$\begin{aligned} b_i(l) = b_i(l-1) - \gamma_0 \frac{d}{db_i} \rho_{\text{M-COSH}}(\hat{\mathbf{b}}_{p+1}) \Big|_{\hat{\mathbf{b}}_{p+1} = \{b_i(l-1)\}}, \quad (8) \\ l = 1, 2, \dots, \end{aligned}$$

при их инициализации (на нулевом шаге) системой равенств $b_0(0) = 1$ и $b_i(0) = -\hat{a}_i \quad \forall i \geq 1$. Здесь $\gamma_0 > 0$ – шаг итераций, l – их порядковый номер, \hat{a}_i – выборочная оценка i -го коэффициента авторегрессии p -го порядка, полученная по результатам обработки текущего фрейма данных с использованием, например, метода Берга [19]. При правильно выбранном шаге итераций $\gamma_0 \leq \gamma_{\text{max}}$ последовательность (8) сходится в асимптотике при $l \rightarrow \infty$ в точку минимума $\mathbf{b}_{\text{опт}}$ дискретной функции стоимости (6). Количество итераций L на практике не превышает нескольких десятков единиц [17, 18] и устанавливается наблюдателем в зависимости от требований к точности приближений.

Финальные значения приближений $\{b_i(L)\}$ определяют согласно (2) форму огибающей дискретной СПМ речевого сигнала $\{G(f_n)\}$ как результат первого этапа ДСМ на основе M-COSH-расстояния. Аналогичным образом определим и метод SID – с той разницей, что выражение для градиента в правой части (8) примет в этом случае иной вид:

итераций к оптимуму $\mathbf{b}_{\text{опт}}$ выше. А это важный довод в пользу предлагаемого метода в расчете на обработку речевого сигнала в режиме реального времени¹.

4. ВТОРОЙ ЭТАП ОБРАБОТКИ

Содержанием первого этапа ДСМ в формулировке (5)–(8) была оптимизация вектора АР-па-

¹ Увеличение скорости сходимости итераций (8) путем увеличения шага γ_0 сопровождается [18] неизбежным снижением точности вектора финальных приближений $\mathbf{b}_{p+1}(L)$.

раметров \mathbf{b}_{p+1} . На втором, завершающем этапе обработки речевого сигнала данный вектор должен быть отмасштабирован под наблюдаемый фрейм $x_m(t)$. В этой связи отметим важную деталь: вслед за спектральной мерой M-COSH-расстояния (3) ее градиент (7) также инвариантен к масштабу моделируемой СПМ. Это вытекает, в частности, из справедливости равенства

$$\begin{aligned} \frac{d}{db_i} \rho_{\text{M-COSH}}(\mathbf{b}_{p+1}) \Big|_{G(f)=G^*(f)} &= \\ = \frac{d}{db_i} \rho_{\text{M-COSH}}(\mathbf{b}_{p+1}) \Big|_{G(f)=cG^*(f)} \end{aligned}$$

для любых $G^*(f) > 0$ и $c > 0$. Как следствие, операция масштабирования в данном случае может быть вынесена за рамки первого этапа. Задача состоит в определении масштабного множителя σ_0^2 в правой части выражения (5) по результатам L -го шага итераций (8). Воспользуемся для ее решения принципом равенства средних мощностей AP-модели (2) и моделируемого фрейма речевого сигнала. При этом в частотной области будем иметь

$$\sigma_0^2(L) \times \sum_{n=1}^N \hat{G}(f_n; \mathbf{b}_{p+1}(L)) \Big|_{\sigma_0^2=1} = \sum_{n=1}^N G(f_n),$$

откуда получаем

$$\sigma_0^2(L) = \frac{\sum_{n=1}^N G(f_n)}{\sum_{n=1}^N \hat{G}(f_n; \mathbf{b}_{p+1}(L)) \Big|_{\sigma_0^2=1}}. \quad (10)$$

Полученный результат в совокупности с выражениями (2), (5) и (8) определяет метод авторегрессионного моделирования с масштабированием вектора AP-параметров \mathbf{b}_{p+1} под наблюдаемый речевой сигнал. Его эффективность исследуется далее экспериментальным путем.

5. ПРОГРАММА И РЕЗУЛЬТАТЫ ЭКСПЕРИМЕНТА

В качестве объекта экспериментального исследования были выбраны сигналы $x(t)$ шести русских гласных фонем в произнесении контрольного диктора как наиболее содержательные в теоретико-информационном смысле [2–6]. Частота дискретизации сигналов $F = 8$ кГц была согласована с полосой пропускания стандартного телефонного канала связи. Достаточно большая длительность каждого сигнала, $T_x = 2...3$ с, изначально предполагала его автоматическое членение на последовательность коротких ($\tau = 16$ мс) речевых фреймов $x_1(t), x_2(t), \dots, x_M(t)$ при их частичном (по 3 мс в начале и в конце) взаимном перекрытии во времени. В результате для каждой

фонемы от контрольного диктора предварительно была создана представительная речевая база данных объемом $M = 1.6T_x/\tau = 200...300$ фреймов. После этого по каждому из них методом 128-точечного быстрого преобразования Фурье был сформирован в качестве эталона соответствующий спектральный образец $\{G(f_n)\}$ для всех $n \leq N = 0.5F\tau = 2^6$.

В качестве предмета экспериментального исследования были рассмотрены AP-модель речевого сигнала фиксированного порядка $p = 10$ и две спектральные меры ее информационного рассогласования с ДПФ-эталонном $\{G(f_n)\}$: M-COSH-расстояния (3) и SID (4) в задаче ДСМ (5) на множестве из $N = 64$ частот f_n с шагом 62.5 Гц в полосе 4 кГц. Два соответствующих варианта записи градиента функции стоимости (7) и (9) были использованы при этом для подстановки в правую часть итеративного алгоритма (8). Его сходимость к глобальному минимуму функции стоимости (6) оптимизационной задачи обеспечивалась в ходе эксперимента путем подбора подходящего шага итераций γ_0 , а также выбором в качестве начального приближения $\mathbf{a}_p(0)$ заведомо устойчивой [1, 20] спектральной оценки Берга того же порядка $p = 10$, что и формируемая согласно (2) AP-модель речевого сигнала. Характеристики эффективности алгоритма для каждой из рассматриваемых мер были получены в дальнейшем путем статистического усреднения по каждой отдельной фонеме соответствующих экспериментальных оценок на множестве $\{x_m(t)\}$ из M независимых реализаций речевого сигнала $x(t)$. Погрешность экспериментальных измерений в ее относительном выражении не вышла с доверительной вероятностью 0.9 за пределы $\delta = 165/\sqrt{200...300} = 10...11\%$ [29]. В ходе эксперимента были использованы находящиеся в открытом доступе фонетическая база данных контрольного диктора и авторская компьютерная программа Phoneme Training. Они размещены на сайте авторов статьи по ссылке <https://sites.google.com/site/frompldcreators/produkty-1/phoneme-training>. Полученные результаты отражены на рисунках ниже.

На рис. 1 на примере одного из фреймов фонемы “а” отражена динамика итераций (8) при применении методов авторегрессионного моделирования речевого сигнала на основе M-COSH-расстояния (3) и SID (4). Шаг итераций γ_0 в обоих случаях был установлен равным 0.1. Из сравнения двух представленных на рисунке кривых можно сделать вывод о существенном преимуществе предложенного метода по быстродействию и, следовательно, по точности AP-модели (2), если рассматривать случай конечного $L < \infty$. Так, в нашем примере (см. рис. 1) новому методу потребовалось всего две–четыре итерации для сходимости в окрестности оптимума $\mathbf{b}_{\text{опт}}$. Как следует из рассмотрения рис. 2, этого вполне достаточно с точки зрения точности AP-мо-

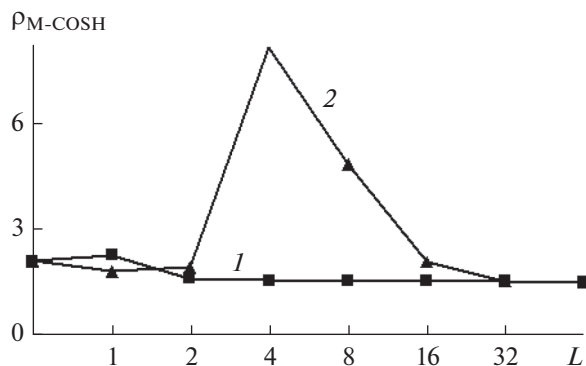


Рис. 1. Динамика итераций (8) при применении мер М-COSH (кривая 1) и SID (кривая 2) с шагом $\gamma_0 = 0.1$.

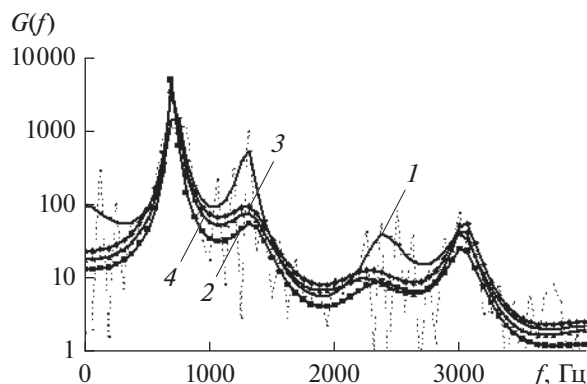


Рис. 2. Семейство СПМ гласного звука речи “а” по результатам двух этапов вычислений при $L = 0$ (кривая 1), 2 (кривая 2), 4 (кривая 3) и 32 (кривая 4) в сопоставлении с графиком моделируемого спектрального образца (пунктирная линия).

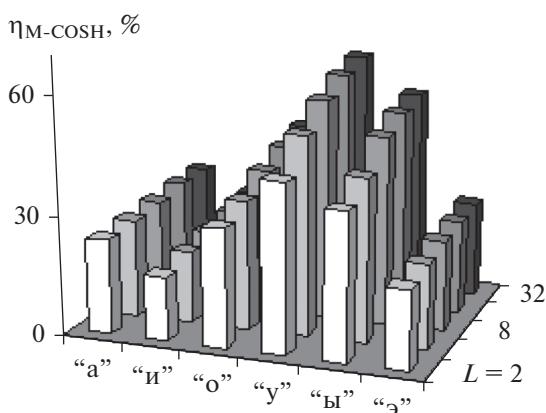


Рис. 3. Гистограмма выигрыша по точности АР-модели (2) на множестве гласных фонем контрольного диктора в зависимости от числа итераций: $L = 2$ (светлые столбики), 8 (серые), 32 (черные).

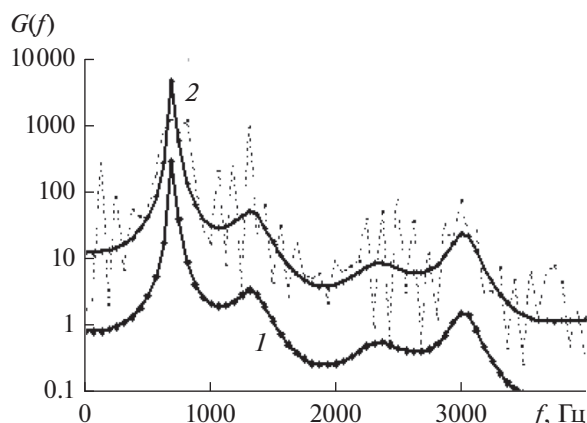


Рис. 4. График СПМ гласного звука речи “а” по результатам одного (1) и двух (2) этапов вычислений с автоматическим масштабированием под среднюю мощность спектрального образца (пунктирная линия).

дели (2) по результатам проведенной оптимизации. Причем рассматриваемый выигрыш распространяется на все, без исключения, гласные фонемы в речи контрольного диктора. Это видно, в частности,

из рассмотрения гистограммы на рис. 3, где по вертикальной оси отложены значения выигрыша метода М-COSH-расстояния по точности АР-модели (2), определяемого выражением

$$\eta_{\text{M-COSH}}(L) \triangleq \frac{\rho_{\text{M-COSH}}(\mathbf{b}_{11}(0)) - \rho_{\text{M-COSH}}(\mathbf{b}_{11}(L))}{\rho_{\text{M-COSH}}(\mathbf{b}_{11}(0))} \times 100\%.$$

Хотя показатель выигрыша и широко варьируется по своей величине от одной фонемы к другой (по-видимому, это особенность речи конкретного диктора), однако каждый раз (для каждой фонемы) он быстро устремляется к своему максимуму при увеличении числа итераций L .

6. ОБСУЖДЕНИЕ ПОЛУЧЕННЫХ РЕЗУЛЬТАТОВ

Как показали результаты проведенного эксперимента, основным преимуществом предложен-

ного метода авторегрессионного моделирования речи являются беспрецедентно высокие динамические свойства итеративной процедуры (8). Их объяснением служит отмеченная выше инвариантность спектральной меры (3) по отношению к масштабному множителю σ_p^2 в правой части выражения (1). Наглядной иллюстрацией сказанного является рис. 4, на котором представлены два графика спектральной АР-оценки (2) сигнала фонемы “а” от контрольного диктора по результатам двух этапов вычислений: до масштабирования и после масштабирования. При этом оба ва-

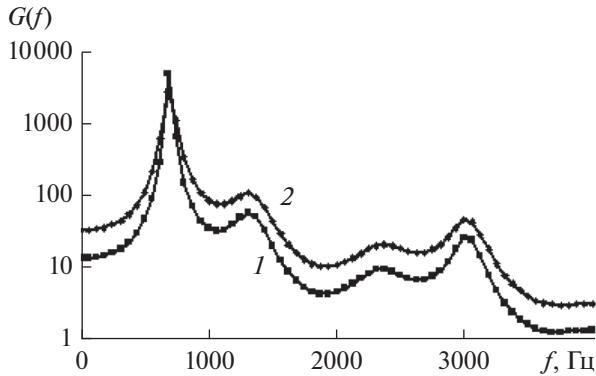


Рис. 5. График СПМ AP-модели фонемы "а" по результатам оптимизации (8) при $L = 4$ в первоначальном (кривая 1) и в устойчивом (кривая 2) виде.

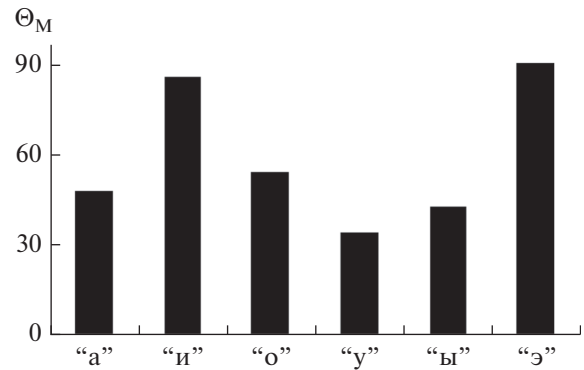


Рис. 6. Гистограмма показателей устойчивости AP-модели (2) гласных звуков речи контрольного диктора при ее оптимизации методом M-COSH-расстояния по результатам четырех итераций (8).

рианта СПМ характеризуются одной и той же величиной рассогласования $\rho_{M-COSH} = 1.57$ по отношению к используемому спектральному ДПФ-образцу $\{G(f_n)\}$. Отсюда можно сделать вывод, что на этапе итеративной AP-оптимизации (8), а это основная составляющая вычислительного процесса в целом, масштабный множитель σ_p^2 роли не играет. Как следствие, в предложенном методе существенно ослаблены корреляционные связи между отдельными компонентами b_i вектора AP-параметров \mathbf{b}_{p+1} . В итоге был существенно сокращен объем вычислений. (Напомним, именно этим обстоятельством объясняется использование в рамках проведенного выше исследования простейшего в реализации метода градиентного спуска вместо традиционно применяемого [18] метода Ньютона с матричным шагом итераций.) Таким образом, благодаря проведенному исследованию дано обоснование новой меры информационного рассогласования (3) в качестве функции стоимости оптимизационной задачи.

Определенные вопросы, правда, вызывает проблема устойчивости, или стабильности [30] AP-модели (2) по результатам ее оптимизации (8). Своими корнями она уходит в проблему устойчивости цифровых рекурсивных фильтров [19]. Однако не следует преувеличивать ее значение в задаче ДСМ. Как справедливо сказано в работе [20], неустойчивый фильтр неработоспособен только в том случае, когда его входной сигнал действует неограниченно долго, так как выходной сигнал фильтра перестает в этом случае зависеть от входного. Но тот же фильтр вполне работоспособен и может быть использован в роли формирователя речевого сигнала с импульсным возбуждением [8, 17] при условии, что его память в конце каждого очередного цикла основного тона принудительно обнуляется.

На рис. 5 представлены графики СПМ двух AP-моделей одной и той же фонемы "а" от контрольного диктора. Кривая 1 соответствует исходной, в данном примере — неустойчивой, AP-модели (2) с вектором коэффициентов $\mathbf{a}_{10}(4) = (0.786787117; -0.33091984; 0.160324858; -0.615996216; 0.275025217; -0.169738362; -0.03057036; -0.09782516; -0.148893196; 0.229581645)$, полученным согласно процедуре (8) по результатам четырех итераций, а кривая 2 — ее откорректированной, устойчивой модификации. Ее вектор AP-коэффициентов $\tilde{\mathbf{a}}_{10} = (0.770766553; -0.318710928; 0.158034596; -0.573735792; 0.251116841; -0.151925457; -0.023126322; -0.089487844; -0.119269473; 0.191146688)$ получен методом Берга [13] по реализации сигнала $x(t)$, синтезированного по схеме импульсного возбуждения с частотой основного тона речи контрольного диктора 125 Гц [31]. Как видим, различия в двух представленных СПМ минимальны.

Существует еще один, более простой и одновременно радикальный способ преодоления проблемы устойчивости AP-модели (2), а именно [32]: ситуативный отказ от ее использования в целях кодирования информации, если она неустойчива, и ее замена в таких случаях на оценку Берга (1), которая, как известно [1, 14], сохраняет устойчивость при любых обстоятельствах. При таком подходе проблема устойчивости разрешается ценой определенных потерь в потенциально достижимой эффективности AP-моделирования. Соответствующие экспериментальные результаты в виде гистограммы представлены на рис. 6. Под показателем устойчивости здесь понимается относительная частота Θ_M формирования устойчивой AP-модели (2) на множестве из $M = 200 \dots 300$ реализаций вектора AP-параметров $\mathbf{b}_{11}(4)$ по каждой отдельной фонеме контрольного диктора [2]. Величина погрешности измерений при доверительной вероятности 0.95 составила в данном случае примерно $196/\sqrt{2000} \approx 5\%$ [29]. Из анализа гисто-

граммы (см. рис. 6) можно заключить, что, по крайней мере, каждый второй (50%) результат вычислений в рамках процедуры (8) приводит в данном конкретном случае – в расчете на индивидуальные особенности контрольного диктора – к устойчивой AP-модели речевого сигнала.

ЗАКЛЮЧЕНИЕ

Если рассматривать ту или иную меру рассогласования речевых сигналов в качестве функции стоимости оптимизационной задачи, то решающее значение с точки зрения эффективности ДСМ будет иметь ее градиент по вектору оптимизируемых параметров \mathbf{b}_{p+1} . Задача в таком случае сводится к адаптации данного вектора под наблюдаемый спектральный образец $\{G(f_n)\}$ вдоль направления максимума упомянутого градиента. В таком случае разные меры характеризуются разной скоростью достижения и разной степенью обусловленности данного максимума. С указанной точки зрения первостепенный интерес представляют приведенные в данной статье результаты. Наиболее близкой к M-COSH-расстоянию из числа известных спектральных мер является симметричная форма расстояния Итакуры (4). Но она проигрывает предложенной мере (3) в несколько раз по скорости сходимости итеративной вычислительной процедуры (8), а также по точности формируемой AP-модели (2) при любом конечном количестве итераций $L < \infty$.

Таким образом, полученные в статье результаты открывают качественно новые возможности для исследований и разработок в области автоматической обработки и передачи речи в режиме реального времени.

ФИНАНСИРОВАНИЕ РАБОТЫ

Работа выполнена при финансовой поддержке Российского научного фонда (проект № 20-71-10010).

СПИСОК ЛИТЕРАТУРЫ

1. *Rabiner L.R., Schafer R.W.* // Foundations and Trends in Signal Processing. 2007. V. 1. № 1–2. P. 1. <https://doi.org/10.1561/20000000001>
2. *Савченко В.В., Савченко Л.В.* // Измерит. техника. 2019. № 9. С. 59. <https://doi.org/10.32446/0368-1025it.2019-9-59-64>
3. *Perez-Gaspar L.A., Caballero-Morales S.O., Trujillo-Romero F.* // Expert Systems with Applications. 2016. V. 66. P. 42. <https://doi.org/10.1016/j.eswa.2016.08.047>
4. *Stasak B., Epps J., Goetze R.* // Computer Speech & Language. 2019. V. 53. P. 140. <https://doi.org/10.1016/j.csl.2018.08.001>
5. *Kim J., Toutios A., Lee S., Narayanan S.* // Computer Speech & Language. 2020. V. 64. Article 101100. <https://doi.org/10.1016/j.csl.2020.101100>
6. *Савченко В.В., Савченко А.В.* // РЭ. 2020. Т. 65. № 11. С. 1101. <https://doi.org/10.31857/S0033849420110157>
7. *Cui S., Li E., Kang X.* // IEEE Int. Conf. Multimedia and Expo (ICME). London. 6–10 Jul. 2020. P. 1. <https://doi.org/10.1109/ICME46284.2020.9102765>
8. *Chaouch H., Merazka M.* // Speech Commun. 2019. V. 108. P. 33. <https://doi.org/10.1016/j.specom.2019.02.002>
9. *Keser S., Gerek Ö.N., Seke E., Gülmezoglu M.B.* // Speech Commun. 2017. V. 94. P. 50. <https://doi.org/10.1016/j.specom.2017.09.002>
10. *Sharma G., Umapathy K., Krishnan S.* // Appl. Acoustics. 2020. V. 158. Article 107020. <https://doi.org/10.1016/j.apacoust.2019.107020>
11. *Benesty J., Chen J., Huang Y.* // Springer Handbook of Speech Processing. Pt. B. N.Y.: Springer, 2008. P. 111. https://doi.org/10.1007/978-3-540-49127-9_7
12. *Xiao D., Mo F., Zhang Y. et al.* // Heliyon. 2018. V. 4. № 11. Article e00948. <https://doi.org/10.1016/j.heliyon.2018.e00948>
13. *Савченко В.В.* // РЭ. 2019. Т. 64. № 6. С. 585. <https://doi.org/10.1134/S0033849419060093>
14. *Hoon M.L., Van der Hagen T.H., Schoonewelle H., Van Dam H.* // Annals of Nuclear Energy. 1996. V. 23. № 15. P. 1219. [https://doi.org/10.1016/0306-4549\(95\)00126-3](https://doi.org/10.1016/0306-4549(95)00126-3)
15. *Kashani H.B., Sayadiyan A.* // Computer Speech & Language. 2018. V. 50. P. 105. <https://doi.org/10.1016/j.csl.2017.12.008>
16. *Chang L., Ming J.* // Signal Processing. 2020. V. 168. Article 107348. <https://doi.org/10.1016/j.sigpro.2019.107348>
17. *Wei B., Gibson J.* // IEEE Signal Processing Lett. 2003. V. 10. № 4. P. 101. <https://doi.org/10.1109/LSP.2003.808550>
18. *Mustiere F., Bouchard M., Bolic M.* // IEEE Trans. 2012. V. ASLP-20. № 2. P. 705. <https://doi.org/10.1109/TASL.2011.2163511>
19. *Marple S.L.* Digital Spectral Analysis with Applications. N.Y.: Dover Publications, 2019.
20. *Гольденберг Л.М., Матюшкин Б.Д., Поляк М.Н.* Цифровая обработка сигналов: Справочник. М.: Радио и связь, 1985.
21. *Daniels M.L., Rao B.D.* // Conf. Record of 46th Asilomar Conf. on Signals Systems and Computers Pacific Grove. 4–7 Nov. 2012. N.Y.: IEEE, 2012. P. 92. <https://doi.org/10.1109/ACSSC.2012.6488965>
22. *Arun-Sankar M.S., Sathidevi P.S.* // Heliyon. 2019. V. 5. № 5. Article e01820. <https://doi.org/10.1016/j.heliyon.2019.e01820>
23. *Seto K., Ogunfunmi T.* // Computer Speech & Language. 2019. V. 54. P. 61. <https://doi.org/10.1016/j.csl.2018.09.001>
24. *Савченко В.В.* // Изв. вузов. Радиоэлектроника. 2020. Т. 63. № 1. С. 55. <https://doi.org/10.3103/S0735272720010045>

25. *Gray R.M., Buzo A., Gray A., Matsuyama Y.* // IEEE Trans. 1980. V. SP-28. № 4. P. 367.
<https://doi.org/10.1109/TASSP.1980.1163421>
26. *Estrada E., Nazeran H., Ebrahimi F., Mikaeili M.* // Proc. Amer. Soc. Mechanical Engineering (ASME) 2009 Summer Bioengineering Conf. (SBC 2009) Lake Tahoe. 17–21 Jun. N.Y.: ASME, 2009. Pts. A and B. P. 723.
<https://doi.org/10.1115/SBC2009-206233>
27. *Eva O.D., Lazar A.M.* // Int. J. Advanced Computer Sci. Appl. 2017. V. 8. № 8. P. 263.
<https://doi.org/10.14569/IJACSA.2017.080834>
28. *Wang D., Wang D., Yu M. et al.* Model-based Health Monitoring of Hybrid Systems. N.Y.: Springer, 2013.
<https://doi.org/10.1007/978-1-4614-7369-5>
29. *Савченко В.В.* // Научные ведомости Белгородского гос. ун-та. Сер. История. Политология. Экономика. Информатика. 2015. № 1. Вып. 33/1. С. 74.
<http://dspace.bsu.edu.ru/handle/123456789/12929>.
30. *Kazemipour A., Miran S., Pal P. et al.* // IEEE Trans. 2017. V. SP-65. № 9. P. 2333.
<https://doi.org/10.1109/TSP.2017.2656848>
31. *Савченко А.В., Савченко В.В.* // Измерит. техника. 2019. № 3. С. 59.
<https://doi.org/10.32446/0368-1025it.2019-3-59-63>
32. *Candan C.* // Signal Processing. 2020. V. 166. Article 107256.
<https://doi.org/10.1016/j.sigpro.2019.107256>